

КРАТКИЕ СООБЩЕНИЯ

УДК 548

КРИСТАЛЛИЧЕСКАЯ СТРУКТУРА ЦИС-ДИАКВАБИС(СУЛЬФАПИРИДАЗИНАТО)НИКЕЛЯ(II)

© 2011 Э.Б. Миминошвили¹*, Л.А. Беридзе², С.Р. Зазашвили²¹Грузинский технический университет, Тбилиси²Тбилисский государственный медицинский университет

Статья поступила 11 января 2010 г.

Ранее нами было установлено, что этазол и сульфадиметоксин (представители сульфаниламидов) не координируются с металлами Mg(II), Mn(II), Co(II), Ni(II), Cu(II), Zn(II) и в комплексных соединениях этих металлов они являются внешнесферными анионами. В работе представлены результаты исследования структуры еще одного представителя сульфаниламидов — сульфапиридазинсодержащего соединения $[\text{Ni}(\text{A})_2(\text{OH}_2)_2]$, где А — анион сульфапиридазина ($\text{C}_{11}\text{H}_{11}\text{N}_4\text{O}_3\text{S}$ — 6-(*n*-аминобензолсульфамидо)-3-метоксипиридазин) координирован атомами азота (N(1) и N(2)), выполняя функцию бидентатно-циклического лиганда. Симметрия и параметры элементарной ячейки: моноклиная, пространственная группа $C2/c$, $a = 20,116(3)$, $b = 8,221(2)$, $c = 16,923(4)$ Å, $\beta = 75,19(5)^\circ$, $V = 2705,6(7)$ Å³, $T = 293$ К, $Z = 4$. Окончательное значение $R = 0,048$ получено для 1930 независимых отражений с $I > 2\sigma(I)$. Структура построена из комплексных молекул.

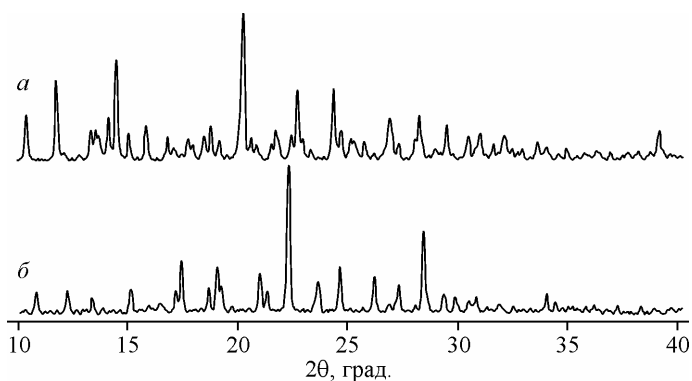
Ключевые слова: комплексные соединения, структурный анализ, сульфоламины, сульфапиридазин.

В процессе исследования комплексообразования сульфамидных препаратов как в ранних, так и в недавно опубликованных работах [1—3] нами было установлено, что они в основном являются внешнесферными анионами. Показано, в частности, что сульфадиметоксин и этазол не координируются к атомам металлов, имеющих малый ионный радиус (Mg(II), Mn(II), Co(II), Ni(II), Cu(II), Zn(II)); комплексы с координированным этазолом получены только с металлами с большим ионным радиусом (Sr(II), Ba(II)) [4]. Аналогичного результата по отношению к Ni(II) ожидали и в случае сульфамидного препарата — сульфапиридазина ($\text{C}_{11}\text{H}_{12}\text{N}_4\text{O}_3\text{S}$ — 6-(*n*-аминобензолсульфамидо)-3-метоксипиридазин), который как по свойствам (наличие одинаковых донорных атомов), так и по геометрическим размерам весьма близок к сульфадиметоксину ($\text{C}_{12}\text{H}_{14}\text{N}_4\text{O}_4\text{S}$) и этазолу ($\text{C}_{10}\text{H}_{12}\text{N}_4\text{O}_2\text{S}_2$). Данные рентгенофазового и рентгеноспектрального анализов сульфапиридазинсодержащих соединений поставили под сомнение наше предположение. Чтобы исключить возможность искажения результатов из-за выветривания вещества при хранении, решили провести синтез какого-нибудь соединения сульфапиридазина и перепроверить результаты рентгенофазового анализа; одновременно получить пригодные для рентгеноструктурного анализа монокристаллы (синтез всех соединений с сульфонамидами проведен в аналогичных условиях).

Синтез соединения $\text{Ni}(\text{A})_2 \cdot n\text{H}_2\text{O}$. Для получения комплекса металла с сульфапиридазином к водному раствору сульфата никеля ($\text{NiSO}_4 \cdot 7\text{H}_2\text{O}$) добавляли водный раствор натриевой соли сульфапиридазина в молярном соотношении 1:2. Химический процесс можно выразить уравнением: $\text{NiSO}_4 \cdot 7\text{H}_2\text{O} + 2\text{Na}(\text{A}) \rightarrow \text{Ni}(\text{A})_2 \cdot n\text{H}_2\text{O} + \text{Na}_2\text{SO}_4$. Через несколько суток из растворов выделялись темно-зеленые кристаллы разной формы, пригодные для рентгеноструктурного анализа.

* E-mail: mimino@gtu.edu.ge

Рис. 1. Дифрактограммы: $\text{Ni}(\text{Aet})_2 \cdot n\text{H}_2\text{O}$ (a), $\text{Ni}(\text{A})_2 \cdot n\text{H}_2\text{O}$ (b)



Аналитические данные. Найдено, %: Ni 8,92, C 40,37, H 4,22, N 17,26. Для состава соединения $\text{NiC}_{22}\text{H}_{26}\text{N}_8\text{O}_8\text{S}_2$ вычислено, %: Ni 8,98, C 40,44, H 4,01, N 17,15.

Рентгеноспектральные данные. Анализ рентгеновского спектра (снят с помощью растрового электронного микроскопа DSM-960 "Оптон", оборудованного рентгеновским микроанализатором "Линк")

показал, что соединение под влиянием электронного пучка заряжается и частично разлагается. Несмотря на это, без сомнения, можно сказать, что соединение $\text{Ni}(\text{A})_2 \cdot n\text{H}_2\text{O}$ содержит Ni и S.

Рентгенофазовый анализ. РФА (проведен на автоматическом дифрактометре HZG-4, $\lambda\text{CuK}\alpha$, β -фильтр, $2\theta/\theta$ непрерывная съемка, $2\theta = 10\text{--}43^\circ$) показал, что порошок соединения $\text{Ni}(\text{A})_2 \cdot n\text{H}_2\text{O}$ не содержит исходных компонентов и является индивидуальным кристаллическим веществом.

Результат РФА не изменился, указывая на разность структур $\text{Ni}(\text{C}_{10}\text{H}_{11}\text{N}_4\text{O}_2\text{S}_2)_2 \cdot n\text{H}_2\text{O}$ ($\text{C}_{10}\text{H}_{11}\text{N}_4\text{O}_2\text{S}_2$ — анион этазола) и $\text{Ni}(\text{A})_2 \cdot n\text{H}_2\text{O}$, и требовал более подробного изучения структуры соединения $\text{Ni}(\text{A})_2 \cdot n\text{H}_2\text{O}$. Действительно, при сопоставлении дифрактограмм ясно видно отличие (рис. 1). Например, на дифрактограмме соединения $\text{Ni}(\text{C}_{10}\text{H}_{11}\text{N}_4\text{O}_2\text{S}_2)_2 \cdot n\text{H}_2\text{O}$ начальным, сравнительно интенсивным максимумам соответствуют угловые положения 2θ 10,4, 11,8, 14,5 и $20,3^\circ$, тогда как на дифрактограмме $\text{Ni}(\text{A})_2 \cdot n\text{H}_2\text{O}$ сравнительно интенсивным максимумам соответствуют другие угловые положения 2θ — 17,4, 19,0, 21,0 и $22,3^\circ$.

Кристаллографические данные для $\text{Ni}(\text{A})_2 \cdot 2\text{H}_2\text{O}$. Валовый состав $\text{C}_{22}\text{H}_{26}\text{N}_8\text{O}_8\text{S}_2\text{Ni}$, формульный вес $M_r = 653,323$; симметрия моноклинная, пространственная группа $C2/c$, $a = 20,116(3)$, $b = 8,221(2)$, $c = 16,923(4)$ Å, $\beta = 75,19(5)^\circ$, $V = 2705,6(7)$ Å³, $T = 293$ К, $Z = 4$, $d_{\text{выч}} = 1,61$ г/см³, $\mu(\text{CuK}\alpha) = 36,80$ см⁻¹. Набор экспериментальных данных получен на автоматическом дифрактометре SYNTEX P-1 ($\lambda(\text{CuK}\alpha) = 1,54180$ Å, графитовый монохроматор). Метод съемки $\theta/2\theta$ -сканирование ($2\theta_{\text{max}} = 53^\circ$). Из 2275 отражений в уточнении использовали 1930 независимых с $I \geq 2\sigma(I)$. Модель структуры неводородных атомов определена прямым методом, положения атомов водорода найдены из разностного синтеза. Уточнение структуры проведено полноматричным МНК в анизотропном приближении тепловых колебаний неводородных атомов и в изотропном — для атомов H. Окончательное значение R-фактора 0,048. В расчетах использован комплекс программ SHELXTL [5]. Координаты и температурные факторы U_{eq} и U_{H} приведены в табл. 1, распределение и нумерация атомов независимой части структуры $[\text{Ni}(\text{A})_2(\text{OH}_2)_2]$ — на рис. 2, а линейные и угловые параметры в структуре приведены в табл. 2.

Описание структуры. В исследуемом соединении структурной единицей является комплексная молекула $[\text{Ni}(\text{A})_2(\text{OH}_2)_2]$ (см. рис. 2). Координационное число Ni(II) равно шести. Так как атом никеля находится на оси симметрии второго порядка, полиэдр получается с помощью трех незави-

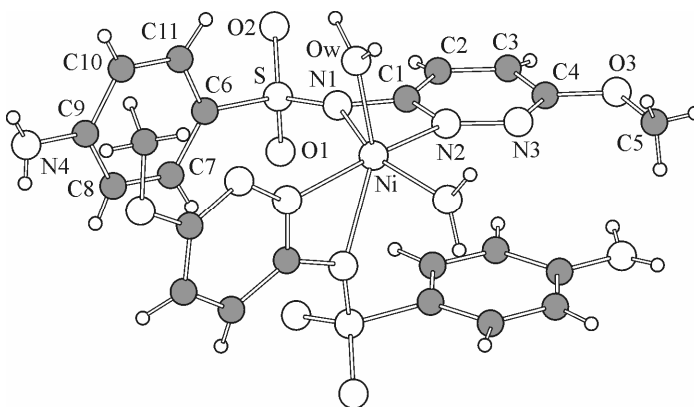


Рис. 2. Распределение и нумерация атомов независимой части структуры $[\text{Ni}(\text{A})_2(\text{OH}_2)_2]$

Т а б л и ц а 1

Координаты ($\times 10^4$ для неводородных атомов, $\times 10^3$ для атомов H) и тепловые факторы атомов ($\text{\AA}^2 \times 10^3$) в структуре $[\text{Ni}(\text{A})_2(\text{OH}_2)_2]$

Атом	x	y	z	U_{eq}	Атом	x	y	z	$U_{\text{eq}}/U_{\text{H}}$
Ni	0000	818,0(5)	2500	21(1)	C(8)	-1549(2)	4790(4)	1395(2)	29(3)
S	-1047,4(7)	4266,0(8)	3524,3(7)	25(2)	C(9)	-2114(2)	3765(4)	1465(2)	30(3)
O(w)	-799(2)	-795(4)	2948(2)	37(3)	C(10)	-2333(2)	2863(4)	2190(2)	32(3)
O(1)	-629(3)	5747(4)	3376(3)	38(4)	C(11)	-2006(2)	3015(4)	2813(2)	32(3)
O(2)	-1569(3)	4250(4)	4306(3)	38(5)	H(w1)	-77(3)	-197(5)	285(3)	72(5)
N(1)	-510(2)	2701(5)	3329(2)	39(4)	H(w2)	-124(4)	-53(5)	335(4)	71(3)
N(2)	277(2)	1214(4)	3557(2)	31(3)	H(1)	-32(4)	395(5)	487(4)	77(3)
N(3)	748(2)	546(4)	3912(2)	29(4)	H(2)	43(4)	296(5)	547(4)	76(3)
C(1)	-158(2)	2364(4)	3890(2)	30(3)	H(3)	189(4)	-70(4)	498(4)	73(4)
C(2)	-135(2)	3041(4)	4634(2)	32(4)	H(4)	148(4)	-158(4)	447(3)	75(4)
C(3)	329(2)	2393(4)	5029(2)	33(3)	H(5)	206(4)	-42(5)	412(4)	72(4)
C(4)	763(2)	1151(4)	4626(2)	36(4)	H(6)	-83(4)	542(5)	196(4)	74(4)
O(3)	1220(2)	534(5)	5017(3)	32(5)	H(7)	-218(4)	397(5)	50(4)	73(4)
C(5)	1689(3)	-670(5)	4586(3)	39(3)	H(8)	-274(4)	304(5)	87(4)	73(5)
N(4)	-2438(3)	3665(5)	843(3)	37(4)	H(9)	-139(4)	531(4)	90(4)	74(4)
C(6)	-1454(2)	4094(4)	2739(2)	31(4)	H(10)	-272(4)	232(5)	228(4)	73(5)
C(7)	-1223(2)	4948(4)	2012(3)	30(4)	H(11)	-211(4)	246(5)	328(4)	72(4)

Т а б л и ц а 2

Межатомные расстояния (d , \AA) и валентные углы (ω , град.) структуры $[\text{Ni}(\text{A})_2(\text{OH}_2)_2]$

Связь	d	Угол	ω	Угол	ω
Ni—O(w)	2,072(3)	O(w)NiN(1)	91,5(1)	SN(1)Ni	149,4(3)
Ni—N(1)	2,164(4)	O(w)NiN(2)	93,6(1)	C(1)N(2)N(3)	124,3(3)
Ni—N(2)	2,031(4)	O(w)NiO(w)*	100,4(1)	C(1)N(2)Ni	101,0(3)
S—N(1)	1,658(4)	O(w)NiN(1)*	152,9(1)	N(3)N(2)Ni	134,7(2)
S—O(1)	1,465(4)	O(w)NiN(2)*	98,2(1)	C(4)N(3)N(2)	115,8(3)
S—O(2)	1,463(5)	N(1)NiN(2)	60,4(1)	N(2)C(1)N(1)	104,9(3)
S—C(6)	1,735(5)	N(1)NiN(1)*	88,6(1)	N(2)C(1)C(2)	120,3(4)
N(1)—C(1)	1,350(6)	N(1)NiN(2)*	105,4(1)	N(1)C(1)C(2)	134,5(3)
N(2)—C(1)	1,313(5)	N(2)NiN(2)*	161,5(1)	C(3)C(2)C(1)	117,8(3)
N(2)—N(3)	1,361(6)	O(2)SO(1)	114,2(2)	C(2)C(3)C(4)	118,8(3)
N(3)—C(4)	1,314(5)	O(2)SN(1)	116,9(2)	N(3)C(4)O(3)	118,9(3)
C(1)—C(2)	1,388(5)	O(1)SN(1)	107,1(2)	N(3)C(4)C(3)	124,4(4)
C(2)—C(3)	1,386(6)	O(2)SC(6)	109,0(3)	O(3)C(4)C(3)	116,7(3)
C(3)—C(4)	1,402(5)	O(1)SC(6)	108,7(3)	C(4)O(3)C(5)	116,7(4)
C(4)—O(3)	1,361(6)	N(1)SC(6)	101,3(2)	C(11)C(6)S	120,2(3)
O(3)—C(5)	1,432(6)	C(1)N(1)S	116,8(3)	C(7)C(6)S	120,2(3)
N(4)—C(9)	1,375(7)	C(1)N(1)Ni	93,6(3)		

* $-x$, $-y+1/2$, z .

симых атомов. Два из них, атомы азота (N(1) и N(2)), принадлежат аниону сульфациридазина (в соединении $[\text{Sr}(\text{C}_{10}\text{H}_{11}\text{N}_4\text{O}_2\text{S}_2)(\text{OH}_2)_5](\text{C}_{10}\text{H}_{11}\text{N}_4\text{O}_2\text{S}_2) \cdot 3\text{H}_2\text{O}$ координация с атомом металла осуществляется атомами N(1) и O(2) аниона этазола) и один атом кислорода — молекуле воды (O(w)).

В координационной сфере металла расстояния Ni—Lig меняются в широком диапазоне (Ni—N(1) 2,164(4), Ni—N(2) 2,031(4), Ni—O(H₂O) 2,072(3) Å). Заслуживающая внимания разница в длинах связей Ni—N (~0,13 Å), видимо, определяется наличием четырехчленного цикла NiN(1)C(1)N(2). В последнем угол N(1)NiN(2) у атома металла значительно уменьшен (60,4(1)°). Аналогичное поведение сульфида описано в комплексе Ni(II), *транс*-дипиридин-бис(сульфамеразинато)никель(II)-пиридине, где Ni(II) с сульфамеразином (метилсульфазин) также образует четырехчленный цикл NiN(1)C(1)N(2), угол N(1)NiN(2) на 3° больше (63,36(7)°), а длина связи Ni—N(1) (2,1396(18)Å) приблизительно на 0,02 Å меньше [6], чем в исследуемом соединении.

Анион сульфациридазина образуется депротонированием группы —NH и координирован к атому металла атомами N(1) и N(2), выполняя роль бидентатно-циклического лиганда. Шестичленные кольца имеют практически плоское строение. Расстояния C—C и углы ССС в бензольном ядре находятся в пределах 1,374(6)—1,405(4) Å и 117,4(4)—121,9(3)°. Двугранный угол между плоскостями бензольного и пиридазинового колец (угол *ванны* Θ) равен 89,1°. Двугранный угол (угол *гош*-конформации Φ) между C(6)SN(1) и SN(1)C(1) равен 7,2°. Следует отметить, что в отличие от угла *ванны* Θ, который находится в пределах приведенных в литературе значений, в исследуемом комплексе угол *гош*-конформации Φ значительно меньше, чем в комплексе Ni(II) с сульфамеразином ($[\text{Ni}(\text{C}_{11}\text{H}_{11}\text{N}_4\text{O}_2\text{S})_2(\text{C}_5\text{H}_5\text{N})_2] \cdot 4\text{C}_5\text{H}_5\text{N}$) — 57,8° [6], в координированном этазоле ($[\text{Sr}(\text{C}_{10}\text{H}_{11}\text{N}_4\text{O}_2\text{S}_2)(\text{OH}_2)_5](\text{C}_{10}\text{H}_{11}\text{N}_4\text{O}_2\text{S}_2) \cdot 3\text{H}_2\text{O}$) — 71,62° [4], в молекуле сульфадиметоксина (C₁₂H₁₄N₄O₄S) — 58,8° [7], в свободных анионах последнего в соединении $[\text{Mg}(\text{OH}_2)_6](\text{C}_{12}\text{H}_{13}\text{N}_4\text{O}_4\text{S})_2 \cdot 5\text{H}_2\text{O}$ — 62,72° и 68,47° [2]). Длины связей и валентные углы между атомом серы и тетраэдрически связанными атомами в исследуемом соединении сравнительно мало отличаются от рассмотренных выше, но это отличие требует рассмотрения. Остальные линейные и угловые параметры в пределах погрешности хорошо согласуются с литературными данными.

В структуре обнаружена водородная связь типа OH...O (расстояния O(w)—H(w1) 0,979(7), H(w1)...O(1) 2,127(7), O(w)...O(1) 2,975(4) Å, угол O(w)H(w1)O(1) 144(1)°).

По нашему мнению, причиной такой деформации координированного аниона сульфациридазина по сравнению с рассмотренными выше свободными молекулами и анионами является его координирование, а по сравнению с координированными анионами — расположение анионов в *цис*-позиции. В комплексах $[\text{Ni}(\text{C}_{11}\text{H}_{11}\text{N}_4\text{O}_2\text{S})_2(\text{C}_5\text{H}_5\text{N})_2] \cdot 4\text{C}_5\text{H}_5\text{N}$ и $[\text{Sr}(\text{C}_{10}\text{H}_{11}\text{N}_4\text{O}_2\text{S}_2) \times (\text{OH}_2)_5](\text{C}_{10}\text{H}_{11}\text{N}_4\text{O}_2\text{S}_2) \cdot 3\text{H}_2\text{O}$ анионы сульфамеразина и этазола находятся в *транс*-позициях. Причины нахождения анионов сульфациридазина в *цис*-позициях соединения $[\text{Ni}(\text{A})_2(\text{OH}_2)_2]$ следует искать в разных типах окружения молекул воды в катионе $[\text{Ni}(\text{OH}_2)_6]^{2+}$ реагента NiSO₄ · 7H₂O [8].

СПИСОК ЛИТЕРАТУРЫ

1. Швелашвили А.Е., Миминошвили Э.Б., Бельский В.К. и др. // Тез. докл. Нац. кристаллохим. конф. — Черноголовка: ИПХ РАН, 1998.
2. Миминошвили Э.Б., Миминошвили К.Э., Беридзе Л.А. // Журн. структур. химии. — 2008. — **49**, № 4. — С. 787 — 790.
3. Миминошвили Э.Б., Миминошвили К.Э., Беридзе Л.А. // Журн. структур. химии. — 2009. — **50**, № 1. — С. 177 — 182.
4. Миминошвили Э.Б., Миминошвили К.Э., Беридзе Л.А., Зазашвили С.Р. // Журн. структур. химии. — 2010. — **51**, № 1. — С. 186 — 191.
5. Sheldrick G.M. User manual, Revision 4, Nicolet XRD Corporation, USA, 1983.
6. Hossain G.M.G., Amoroso A.J. // Acta Crystallogr. — 2006. — **E62**. — P. m2721 — m2722.
7. Миминошвили Э.Б., Едидберидзе Д.А., Миминошвили К.Э., Зазашвили С.Р. // Georgian Engineering News. — 2007. — **1**. — С. 51 — 54.
8. Уэллс А. Структурная неорганическая химия. Т. 2. — М.: Мир, 1987. — С. 402 — 408.